

К НЕЛИНЕЙНОЙ ТЕОРИИ ЗАТУХАНИЯ ЭЛЕКТРОМАГНИТНЫХ  
ВОЛН В ПЛАЗМЕ

*Н. С. Ерохин, Р. К. Мазитов*

(*Новосибирск*)

Изучается поглощение электромагнитной волны круговой поляризации, распространяющейся в плазме вдоль магнитного поля. При помощи эллиптических функций решаются точные уравнения движения частиц в резонансной области. Показывается, что нелинейный декремент затухания имеет осцилляторный вид. При  $t \rightarrow 0$  он совпадает с декрементом, полученным при помощи линейной теории, а при  $t \rightarrow \infty$  в отсутствие столкновений стремится к нулю. Исследуется влияние столкновений на поглощение волны. Показывается, что декремент затухания при учете столкновений зависит от амплитуды волны  $H_1$ , как  $H_1^{-3/2}$ . При исследовании слабозатухающих волн в плазме можно использовать следующую модель, предложенную Даусоном [1] и несколько модифицированную позднее в работах [2, 3]. Все частицы плазмы разбиваются на две группы: нерезонансные и резонансные. Функция распределения нерезонансных частиц по скоростям выбирается такой же, как и в случае незатухающей волны; функция распределения резонансных частиц в начальный момент времени предполагается максвелловской. Нелинейные уравнения движения резонансных частиц интегрируются точно. Декремент затухания определяется как отношение работы, совершенной полем волны над резонансными частицами, к полной энергии волны.

При нелинейном рассмотрении резонансное поглощение оказывается нестационарным: через время порядка нескольких периодов колебаний частицы, захваченной полем волны, оно прекращается и становится существенным стационарное поглощение, вызванное редкими столкновениями. Заметим, что такого рода поглощение для случая плазменных волн было изучено В. Е. Захаровым и В. И. Карпманом [4].

1. Для простоты будем учитывать тепловое движение только для резонансных частиц. Нерезонансные частицы будем считать холодными. Дисперсионное уравнение для электромагнитной волны круговой поляризации, распространяющейся в холодной плазме вдоль магнитного поля, имеет вид [5]

$$\frac{k^2 c^2}{\omega^2} - 1 - \frac{\omega_{0e}^2}{\omega(\omega + \omega_{He})} - \frac{\omega_{0i}^2}{\omega(\omega + \omega_{Hi})} \quad (1.1)$$

Рассмотрим волну, поляризованную в сторону вращения электронов. Ей в (1.1) соответствует нижний знак. Ограничимся случаем частот, близких к  $\omega_{He}$ , т. е.

$$\omega_{Hi} \ll \omega \lesssim |\omega_{He}| \quad (1.2)$$

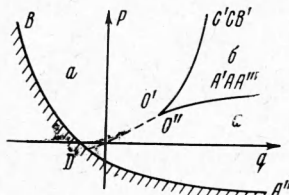
так что ионы можно считать не участвующими в колебаниях. Кроме того, резонансных частиц должно быть значительно меньше, чем нерезонансных

$$|\omega_{He}| - \omega \gg k v_{Te} \quad (1.3)$$

Перейдем в систему координат, движущуюся вместе с волной. В этой системе электрическое поле отсутствует. Уравнения движения частиц (электронов) запишутся следующим образом:

$$\begin{aligned} dv_x / dt &= \omega_{H0} v_y + \omega_{H1} v_z \sin k z \quad (\omega_{H0} = \omega_{He}) \\ dv_y / dt &= -\omega_{H0} v_x + \omega_{H1} v_z \cos k z \quad (\omega_{H1} = eH_1/mc) \\ dv_z / dt &= -\omega_{H1} (v_x \sin k z + v_y \cos k z) \end{aligned} \quad (1.4)$$

Здесь  $H_1$  — амплитуда поля волны. Постоянное поле  $H_0$  направлено по оси  $z$ . Если произвести замену переменных



Фиг. 1

$$v_\xi = -\frac{k}{\omega_{H_0}} v_x \cos kz - \frac{k}{\omega_{H_0}} v_y \sin kz - \frac{\omega_{H_1}}{\omega_{H_0}}$$

$$v_\eta = -\frac{k}{\omega_{H_0}} v_y \cos kz + \frac{k}{\omega_{H_0}} v_x \sin kz$$

$$v_\zeta = 1 - \frac{k}{\omega_{H_0}} v_z, \quad \tau = \omega_{H_0} t \quad (1.5)$$

то в уравнениях (1.5) исчезает зависимость от  $z$ : (1.6)

$$\frac{dv_\xi}{d\tau} = v_\eta v_\xi, \quad \frac{dv_\zeta}{d\tau} = -\alpha - v_\xi v_\zeta, \quad \frac{dv_\eta}{d\tau} = -\alpha v_\eta \quad (\alpha = \frac{\omega_{H_1}}{\omega_{H_0}} = \frac{H_1}{H^0})$$

Система уравнений (1.6) имеет два простых интеграла

$$p = v_\xi^2 + 2\alpha v_\xi, \quad q = v_\eta^2 + v_\zeta^2 - 2v_\zeta \quad (1.7)$$

Исключив  $v_\eta$  при помощи (1.7) из последнего уравнения системы (1.6), получим решение в квадратурах

$$\int_{v_\zeta}^{v_\zeta 0} \frac{dv_\zeta}{\sqrt{4q\alpha^2 - p^2 + 8\alpha^2 v_\zeta + 2pv_\zeta^2 - v_\zeta^4}} = \frac{\tau}{2} \quad (1.8)$$

Форма ответа зависит от числа действительных корней уравнения

$$\chi \equiv v_\zeta^4 - 2pv_\zeta^2 - 8\alpha^2 v_\zeta + p^2 - 4q\alpha^2 = 0 \quad (1.9)$$

В условиях рассматриваемой задачи возможны два случая: а) уравнение (1.9) имеет два действительных корня

$$v_{\zeta 1} v_{\zeta 2} = u \pm R^+(p, u) \quad (1.10)$$

б) уравнение (1.9) имеет четыре действительных корня

$$v_{\zeta 1}, v_{\zeta 2} = u \pm R^+(p, u), \quad v_{\zeta 3}, v_{\zeta 4} = -u \pm R^-(p, u),$$

$$R^\pm = (p - u^2 \pm 2\alpha^2 / u)^{1/2} \quad (1.11)$$

$$u^2 = \frac{1}{3}p + \frac{1}{2}[-r + \frac{4}{3}\alpha^2 \sqrt[1/3]{M}]^{1/3} + \frac{1}{2}[-r - \frac{4}{3}\alpha^2 \sqrt[1/3]{M}]^{1/3}$$

$$r = -\frac{8}{27}p^3 + \frac{4}{3}\alpha^2 pq - 4\alpha^4, \quad s = \frac{4}{3}\alpha^2 q - \frac{4}{9}p^2, \quad M = \frac{27}{16}(r^2 + s^2)\alpha^{-4}$$

Случаям а) и б) в плоскости  $pq$  соответствуют области

$$M(p, q) \equiv 4p^3 + 4\alpha^2 q^3 - 18\alpha^2 p^2 q^2 + 27\alpha^4 \geqslant 0 \quad (1.12)$$

На фиг. 1 линия  $A'O'C'$ , отделяющая области с различным числом действительных корней уравнения (1.9), является одной из двух ветвей кривой  $M(p, q) = 0$ ; вторая ветвь — линия  $BDA''$  — ограничивает область возможных значений  $p, q$ . Подставив в  $M(p, q) = 0$  выражения (1.7), получим уравнение граничной поверхности в пространстве  $(v_\xi, v_\eta, v_\zeta)$

$$4(v_\zeta^2 + 2\alpha v_\zeta^2) + 4\alpha^2(v_\xi^2 + v_\zeta^2 - 2v_\zeta)^3 - 18\alpha^2(v_\zeta^2 + 2\alpha v_\zeta)(v_\eta^2 + v_\zeta^2 - 2v_\zeta) - (v_\zeta^2 + 2\alpha v_\zeta)_n(v_\eta^2 + v_\zeta^2 - 2v_\zeta)^2 + 27\alpha^4 = 0 \quad (1.13)$$

В плоскости  $v_\eta = 0$  уравнение (1.13) можно записать в виде произведения

$$(\alpha + v_\xi v_\zeta)^2 (4v_\zeta^3 - 4\alpha v_\zeta^3 + 18\alpha v_\xi v_\zeta - v_\xi^2 v_\zeta^2 + 27\alpha^2) = 0 \quad (1.14)$$

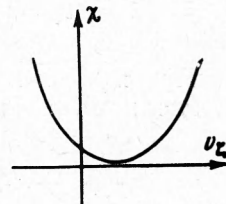
Поверхность (1.13) пересекает плоскость  $v_\eta = 0$  по кривой

$$4v_\zeta^3 - 4\alpha v_\xi v_\zeta^2 + 18\alpha v_\xi v_\zeta - v_\xi^2 v_\zeta^2 + 27\alpha^2 = 0 \quad (1.15)$$

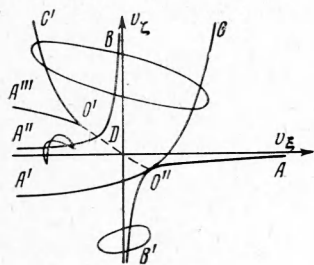
и касается ее по гиперболе

$$\alpha + v_\xi v_\zeta = 0 \quad (1.16)$$

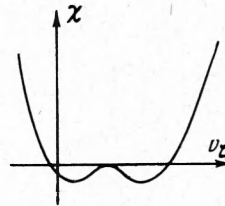
Уравнение (1.18) представляет собой уравнение нелинейного осциллятора с потенциальной энергией  $\chi(v_\zeta)$ . Гипербола (1.16) соответствует частицы, находящимся на дне потенциальной ямы (фиг. 2), кривой (1.15), точнее ее участкам  $O'A'''$ ,  $O''A'$  (фиг. 3) — частицы с бесконечно большим периодом (фиг. 4). Отметим, что частицы, пересекающие при своем движении в пространстве скоростей плоскость  $v_\eta = 0$  в области  $A'''O''O''A'$  оказываются запертными в плоскости  $v_\xi v_\zeta$  в пределах определенного угла. Они являются аналогом частиц, захваченных плазменной волной.



Фиг. 2



Фиг. 3



Фиг. 4

Рассмотрим теперь решение уравнения (1.8). В случае а) оно запишется в виде

$$v_\zeta = \frac{mv_{\zeta 1} - nv_{\zeta 2}}{n-m} + \frac{2nm(v_{\zeta 1} - v_{\zeta 2})}{n^2 - m^2 - (n-m)^2 \operatorname{cn}[F(\varphi_0, k) - \tau \sqrt{nm}, k]} \\ k^2 = \frac{1}{2} + \frac{p - 3u^2}{4 \sqrt{(u^2 + \alpha^2/u)^2 - u^2(R^-)^2}}, \quad n^2, m^2 = u^2 + \frac{\alpha^2}{u} + uR^+ \quad (1.17) \\ \varphi_0 = 2\operatorname{arc} \operatorname{tg} \left[ \frac{n}{m} \left( \frac{v_{\zeta 1} - v_{\zeta 0}}{v_{\zeta 0} - v_{\zeta 2}} \right) \right]^{1/2}$$

Здесь  $F(\varphi, k)$  — неполный эллиптический интеграл первого рода,  $R^\pm$  — согласно (1.11).

В случае б) решение зависит еще от области интегрирования по  $v_\zeta$ :

$$v_\zeta = \frac{v_1(v_2 - v_4) + v_4(v_1 - v_2)\operatorname{sn}^2[F(\mu_0, r) + \tau\delta, r]}{v_2 - v_4 + (v_1 - v_2)\operatorname{sn}^2[F(\mu_0, r) + \tau\delta, r]} \quad (v_1 < v_\zeta < v_2) \\ v_\zeta = \frac{v_3(v_2 - v_4) - v_2(v_3 - v_4)\operatorname{sn}^2[F(\lambda_0, r) + \tau\delta, r]}{v_2 - v_4 - (v_3 - v_4)\operatorname{sn}^2[F(\lambda_0, r) + \tau\delta, r]} \quad (v_4 < v_\zeta < v_3) \quad (1.18)$$

$$\mu_0 = \operatorname{arc} \sin \left( \frac{(v_2 - v_4)(v_1 - v_{\zeta 0})}{(v_1 - v_2)(v_{\zeta 0} - v_4)} \right)^{1/2}, \quad \lambda_0 = \operatorname{arc} \sin \left( \frac{(v_2 - v_4)(v_3 - v_{\zeta 0})}{(v_3 - v_4)(v_2 - v_{\zeta 0})} \right)^{1/2}$$

$$r = \{[(v_1 - v_2)/(v_1 - v_3)][(v_3 - v_4)/(v_2 - v_4)]\}^{1/2}$$

$$\delta = 1/4 [(v_1 - v_3)/(v_2 - v_4)]^{1/2}$$

Здесь

$$v_i = v_{\zeta i} \quad (i = 1, 2, 3, 4), \quad v_1 > v_2 > v_3 > v_4$$

При  $\alpha / \sqrt{p} \ll 1$ ,  $q \sim (k v_{Te} / \omega_{H0})^2$  выражение для  $v_\zeta$  значительно упрощается и имеет один и тот же вид для случаев а) и б)

$$\begin{aligned} v_\zeta \approx \sqrt{p} - \frac{3\alpha^2}{4\sqrt{p}} \left( \frac{v_{\xi_0}^2 + v_{\eta_0}^2}{p} + \frac{4}{3\sqrt{p}} \right) + \left( \frac{\alpha^2 v_{\eta_0}^2}{p\sqrt{p}} + \frac{\alpha^2}{p} - \frac{\alpha v_{\zeta_0}}{\sqrt{p}} \right) \cos \tau \sqrt{p} - \\ - \left( \frac{\alpha v_{\eta_0}}{\sqrt{p}} + \frac{\alpha^2 v_{\xi_0} v_{\eta_0}}{4p\sqrt{p}} \right) \sin \tau \sqrt{p} + \frac{\alpha^2 (v_{\xi_0}^2 - v_{\eta_0}^2)}{4p\sqrt{p}} \cos 2\tau \sqrt{p} + \\ + \frac{\alpha^2 v_{\xi_0} v_{\eta_0}}{2p\sqrt{p}} \sin 2\tau \sqrt{p} \end{aligned} \quad (1.19)$$

Здесь  $v_{\xi_0}$ ,  $v_{\eta_0}$ ,  $v_{\zeta_0}$  — значения проекции скорости частицы на оси в начальный момент времени.

2. Декремент затухания найдем как отношение работы, совершенной полем волны над резонансными частицами к полной энергии волны  $E$

$$\begin{aligned} \gamma = \frac{1}{E} \iiint \frac{m}{2} \left[ v_x^2 + v_y^2 + \left( v_z + \frac{\omega}{k} \right)^2 \right] \frac{\partial f}{\partial t} dv_x dv_y dv_z \quad (2.1) \\ E = \frac{H_1^2}{8\pi} \left( \frac{\omega}{kc} \right)^2 \left[ 1 + \frac{k^2 c^2}{\omega^2} + \frac{\omega_{0e}^2}{(\omega + \omega_{H0})^2} \right] \end{aligned}$$

Учитывая, что число частиц сохраняется и что  $v_x^2 + v_y^2 + v_z^2 = \text{const}$ , перепишем (2.1) следующим образом:

$$\gamma = \frac{1}{E} \iiint m v_z \left( \frac{\omega}{k} \right) \frac{\partial f}{\partial t} dv_x dv_y dv_z \quad (2.2)$$

Производную  $\partial f / \partial t$  найдем из кинетического уравнения, считая, что в начальный момент времени функция распределения частиц по скоростям — максвелловская. Тогда выражение для декремента примет вид

$$\gamma = - \frac{2m\omega_{H1}}{Ev_{Te}^2} \left( \frac{\omega}{k} \right)^2 \left( \frac{\omega_{H0}}{k} \right)^2 \iiint v_{\eta_0} \left( 1 + \frac{k v_z}{\omega_{H0}} \right) f_0 dv_x dv_y dv_z \quad (2.3)$$

Здесь под интегралом берется значение функции  $f_0$  только в плоскости  $v_z = (\omega + \omega_{H0}) / k$  ( $v_\zeta = 0$ ). Для случаев а) и б) имеем

$$\begin{aligned} v_{\eta_0} = h \frac{\operatorname{sn}(F(\varphi, k) + \tau \sqrt{nm}) \operatorname{dn}(F(\varphi, k) + \tau \sqrt{nm})}{\{(n+m)/(n-m)\} - \operatorname{cn}(F(\varphi, k) + \tau \sqrt{nm})^2} \quad (M(p, q) < 0) \\ v_{\eta_0} = l \frac{\operatorname{sn}(2F(\mu, r) - 2\tau\delta) \operatorname{dn}(2F(\mu, r) - 2\tau\delta)}{\{1 + [(v_1 - v_2)/(v_2 - v_4)] \operatorname{sn}^2(F(\mu, r) - 2\tau\delta)\}^2} \quad (M(p, q) > 0, v_2 < v_\zeta < v_1) \end{aligned} \quad (2.4)$$

$$v_{\eta_0} = b \frac{\operatorname{sn}(2F(\lambda, r) - 2\tau\delta) \operatorname{dn}(2F(\lambda, r) - 2\tau\delta)}{1 - [(v_3 - v_4)/(v_2 - v_4)] \operatorname{sn}^2(F(\lambda, r) - 2\tau\delta)} \quad (M(p, q) > 0, v_4 < v_\zeta < v_3) \quad (2.5)$$

$$h = \frac{2(nm)^{3/2} (v_2 - v_1)}{\alpha (n-m)^2}, \quad l = \frac{(v_1 - v_4)(v_1 - v_2)}{4\alpha} \left( \frac{v_1 - v_3}{v_2 - v_4} \right)^{1/2}, \quad b = \frac{i(v_3 - v_4)}{(v_4 - v_1)}$$

При  $\alpha / \sqrt{p} \ll 1$ ,  $q \sim (kv_{Te} / \omega_{H0})^2$  последние выражения упрощаются

$$\begin{aligned} v_{\eta_0} \approx & - \left( \frac{\alpha v_{\eta}^2}{p} + \frac{\alpha}{\sqrt{p}} - v_{\xi} \right) \sin \tau \sqrt{p} + \left( v_{\eta} + \frac{\alpha v_{\xi} v_{\eta}}{4p} \right) \cos \tau \sqrt{p} - \\ & - \frac{\alpha (v_{\xi}^2 - v_{\eta}^2)}{2p} \sin 2\tau \sqrt{p} - \frac{\alpha v_{\xi} v_{\eta}}{p} \cos 2\tau \sqrt{p} + \dots \end{aligned} \quad (2.6)$$

Здесь сохранены только члены первого порядка по  $(\alpha / \sqrt{p})$ .

Покажем сначала, что при  $\tau \rightarrow 0$  нелинейный декремент затухания сводится к линейному. При малых  $\tau$  эффективно обмениваться энергией с волной будут частицы с наименьшим периодом колебания. Для них условие  $\alpha / \sqrt{p} \ll 1$  выполняется. Поэтому вместо  $v_{\eta_0}$  в (2.3) можно подставить его приближенное выражение из формулы (2.6). Производя выкладки, получим

$$\begin{aligned} \gamma = \omega_{0e}^2 \exp \left[ - \left( \frac{\omega + \omega_{H0}}{kv_{Te}} \right)^2 \right] \left[ 1 + \frac{k^2 c^2}{\omega^2} + \left( \frac{\omega_{0e}}{\omega + \omega_{H0}} \right)^2 \right]^{-1} \times \\ \times \frac{2}{\Pi^{1/2} kv_{Te}} \int_{\sqrt{p_1}}^{\infty} \frac{\sin(\sqrt{p} |\omega_{H0}| t)}{\sqrt{p}} d\sqrt{p} \end{aligned} \quad (2.7)$$

Здесь  $p_1$  — минимальное значение  $p$ , при котором формула (2.6) еще применима. Устремляя  $\tau$  к нулю, приходим к результату линейной теории [5].

Для произвольного момента времени декремент выражается через трехкратные интегралы. Они не поддаются существенному упрощению. Поэтому для определения основных свойств декремента воспользуемся результатами работ [2, 3], в которых интегралы такого вида уже вычислены. Если, например, в (2.3) вместо  $v_x, v_y, v_z$  ввести новые переменные  $\varphi, k, q$ , то  $\varphi$  будет соответствовать  $\xi$ , а  $k \rightarrow \alpha$  формулы (3.9) работы [2].

В работе [2] было показано, что декремент будет осциллировать с характерным временем, отличающимся от периода колебания частиц, находящихся на дне потенциальной ямы множителем порядка единицы. В рассматриваемом случае компоненты скорости таких частиц удовлетворяют уравнению гиперболы (1.16), причем  $v_{\xi} > 0, v_{\zeta} < -\alpha^{1/2}$ .

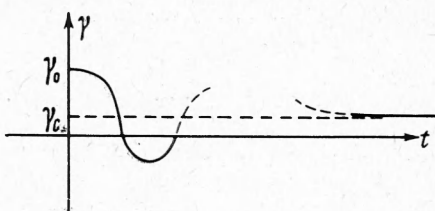
Положив в (1.17)  $v_{\xi_0} \approx kv_{Te} / \omega_{H0}$ , найдем период колебаний частиц на дне потенциальной ямы

$$T_0 = \frac{4\pi}{|\omega_{H0}|(nm)^{1/2}} \approx \frac{2\pi}{(kv_{Te}\omega_{H1})^{1/2}} \quad (2.8)$$

Таким образом, характерное время осцилляции декремента как и в случае плазменных волн обратно пропорционально квадратному корню из амплитуды волны. Поэтому для волн малой амплитуды процессы в резонансной области протекают очень медленно, функция распределения частиц не успевает заметно исказиться за время порядка периода колебаний в плазме ( $T = 2\pi / \omega$ ), и в начальный момент времени функция распределения может быть выбрана максвелловской.

При больших  $\tau$  ( $t \gg T_0$ ) декремент затухания будет стремиться к нулю, так как в числителе подынтегрального выражения (2.3) стоит эллиптическая функция (2.4), проинтегрированная по своему модулю. Уменьшение декремента можно понять из простых физических соображений. Полная энергия всех частиц, находящихся на траектории с фиксированными  $p$  и  $q$ , сохраняется с течением времени, если функция распределения зависит только от этих интегралов движения. В общем случае полная

энергия колеблется между максимальным и минимальным значениями, определяющимися  $p$  и  $q$ . В начальный момент времени, когда функция распределения максвелловская, полная энергия большинства траекторий увеличивается и волна затухает.



Фиг. 5

При больших  $t$  из-за различия в периодах даже очень близкие по  $p$  и  $q$  траектории разойдутся по фазе, так что энергия всех траекторий в среднем изменяться не будет, затухание волны прекратится. Отметим, что такой результат имеет место только в отсутствие столкновений, т. е.  $v = 0$  ( $v$  — частота столкновений). Если  $v \neq 0$ , то выражение (2.3) будет справедливо в течение времени, меньшего, чем время соударений частиц

$$T_0 \ll t < 1/v \quad (2.9)$$

3. Благодаря столкновениям функция распределения частиц по скоростям будет частично восстанавливаться или, другими словами, максвеллизоваться. При больших  $t \gg 1/v$  в плазме установится стационарное состояние. Функция распределения в этом случае определяется из стационарного кинетического уравнения со столкновительным членом, записанным в форме Ландау

$$-v_\xi \frac{\partial f}{\partial \Psi} + \alpha v_\eta \frac{\partial f}{\partial v_\zeta} = \frac{va}{2\pi |\omega_{H0}|} \frac{\partial}{\partial v_\xi} \left[ \left( \frac{kv_{Te}}{\omega_{H0}} \right)^2 \frac{\partial f}{\partial v_\xi} + \left( v_\zeta - 1 + \frac{\omega}{|\omega_{H0}|} \right) f \right] \quad (3.1)$$

$$\Psi = \arctg \frac{v_\eta}{v_\xi}, \quad v = \frac{8\pi e^4 L k^3 n_0}{m^2 (|\omega_{H0}| - \omega)^3}, \quad a = 1 + \left( \frac{\omega_{H0}}{kv_{Te}} \right)^2 [v_\eta^2 + (\alpha + v_\xi)^2]$$

Здесь  $v$  — имеет смысл эффективной частоты столкновений в резонансной области,  $n_0$  — плотность,  $L$  — кулоновский логарифм.

Удобно перейти к новым переменным  $\theta, \beta$

$$\theta = \pi - \psi, \quad \beta = p + 2\alpha q, \quad q = v_\xi^2 + v_\eta^2 - 2v_\zeta \quad (3.2)$$

Если учесть, что функция распределения наиболее чувствительна к изменению продольной скорости и что в резонансной области  $q \approx (kv_{Te}/\omega_{H0})^2$ , то в новых переменных уравнение (3.1) примет вид

$$\frac{\partial f}{\partial \theta} = \frac{va}{|\omega_{H0}|} \frac{\partial}{\partial \beta} \left\{ \left( \frac{\omega}{|\omega_{H0}|} - 1 \right) f + \sigma \left( \beta - 4\alpha \sqrt{q} \sin^2 \frac{\theta}{2} \right)^{1/2} \left[ 2 \left( \frac{kv_{Te}}{\omega_{H0}} \right)^2 \frac{\partial f}{\partial \beta} + f \right] \right\}$$

$$\sigma = \operatorname{sgn} v_\zeta, \quad a = 1 + q (\omega_{H0}/kv_{Te})^2 \quad (3.3)$$

Это уравнение отличается от уравнения (1.8) работы [4] только обозначениями. При помощи последнего уравнения системы (1.4) вычислим работу, совершающую полем волны над частицами с фиксированным  $q$  за единицу времени

$$\frac{dW}{dt} = -\frac{1}{8} m \omega \left| \frac{\omega_{H0}}{k} \right|^5 \int_{-\pi}^{\pi} d\theta \sum_{\sigma}^{\infty} f_{\sigma} \Delta(\theta) [\beta - \Delta(\theta)]^{-1/2}$$

$$\Delta(\theta) = 4\alpha \sqrt{q} \sin^2 \left( \frac{\theta}{2} \right) \theta \quad (3.4)$$

Используя результаты, полученные в [4], перепишем выражение (3.4) в виде

$$\frac{dW}{dt} = \frac{1}{4} \left( \frac{\pi}{2} \right)^{1/2} \frac{mn_0\omega v |\omega_{H0}| a}{k^4 v_{Te}^2} \alpha^{1/2} q^{1/4} c_0 \exp \left[ -\frac{c_0^2}{2} - \frac{q}{2} \left( \frac{\omega_{H0}}{kv_{Te}} \right)^2 \right]$$

$$c_0 = \frac{|\omega_{H0}| - \omega}{kv_{Te}} \quad (3.5)$$

Проинтегрировав (3.5) по  $q$  и разделив на полную энергию волны, найдем декремент затухания

$$\gamma_c = \frac{7}{8} \sqrt{\pi} \Gamma \left( \frac{1}{4} \right) \frac{\omega v n_0 m c_0}{k^4} \sqrt{\frac{kv_{Te}}{|\omega_{H1}|}} \exp \left( -\frac{c_0^2}{2} \right) \times$$

$$\times \left\{ \frac{H_1^2}{8\pi} \left( \frac{\omega}{kc} \right)^2 \left[ 1 + \left( \frac{kc}{\omega} \right)^2 + \left( \frac{\omega_{0e}}{\omega + \omega_{H0}} \right)^2 \right] \right\}^{-1} \quad (3.6)$$

В случае стационарного поглощения  $\gamma_c$  зависит от амплитуды волны  $H_1$ , как  $H_1^{-3/2}$ . Формула (3.6) справедлива, вообще говоря, при  $t \gg 1/v$ . Общее выражение для декремента затухания с учетом столкновений для любого момента времени построить не удается. Качественная зависимость  $\gamma$  от  $t$  изображена на фиг. 5.

Авторы благодарят Р. З. Сагдеева за постоянное внимание к работе и полезные советы.

Поступила 20 II 1967

#### ЛИТЕРАТУРА

1. Dawson I. On Landau damping Phys. Fluids, 1961, vol. 4, No. 7, p. 863.
2. Мазитов Р. К. О затухании плазменных волн. ПМТФ, 1965, № 1, стр. 27.
3. O'Neill T. Collision less damping of nonlinear plasma oscillations. Phys. Fluids, 1965, vol. 8, No. 12, p. 2235.
4. Захаров В. Е., Карапман В. И. К нелинейной теории затухания плазменных волн. ЖЭТФ, 1962, т. 43, вып. 2.
5. Шафранов В. Д. Электромагнитные волны в плазме. В сб. «Вопросы теории плазмы», М., Госатомиздат, 1963, вып. 3.